

◆トピックス◆

## 血液凝固 VII 因子の欠損マウス

友 清 和 彦<sup>\*1</sup>, 副 島 見 事<sup>\*2</sup>, 水 口 純<sup>\*1</sup>

Factor VII Deficient Mice

Kazuhiko TOMOKIYO<sup>\*1</sup>, Kenji SOEJIMA<sup>\*2</sup> and Jun MIZUGUCHI<sup>\*1</sup>

**Key words:** factor VII deficient mice, tissue factor, development, blood vessel

### はじめに

外因系凝固反応は、血管障害部位の細胞膜上に露呈した組織因子(TF)と血中の活性化VII因子(FVIIa)が1:1の複合体を形成し、IX因子(FIX)およびX因子(FX)を活性化することにより開始される。FVIIaはそれ自身ではきわめて弱い酵素活性しか示さないが、TFと結合することによりFIXおよびFXの活性化速度は約10<sup>4</sup>倍高められる。したがって生理的なFVIIaの凝固活性発現にTFは必須である。血液凝固VII因子(FVII)に関しては、現在まで次のような知見が得られている<sup>①</sup>。①ヒトFVIIは、肝臓で合成される406個のアミノ酸残基からなる分子量約50,000の1本鎖糖蛋白であり、多くのビタミンK依存性凝固因子同様に、アミノ末端からγ-カルボキシグルタミン酸(Gla)ドメイン、上皮性細胞成長因子様のEGF1ドメインとEGF2ドメイン、セリンプロテアーゼドメインの4つのドメイン構造からなっている。②FVIIは*in vitro*において多くのセリン型酵素(FXaやFXIIa, FIXaなど)によってArg<sup>152</sup>.

Ile<sup>153</sup>が切断され、二本鎖(L鎖とH鎖)のFVIIaへと変換されるが、FIXやFX、プロテインCなどに見られるような活性化ペプチドの遊離はない。③血漿中にはFVIIの約1%がFVIIaとして検出されるが、最近、Butenasら<sup>②</sup>は生理的濃度におけるFVIIの活性化反応を4つの酵素(FXaおよびFVIIa/TF、トロンビン、FIXa)を用いて行い、その動力学的解析からFXaが生理的なFVII活性化酵素であることを明らかにした。しかし、定常状態下の血中でFXaが産生されるとは考えにくく、正常血漿中に観察されるFVIIaがどのように活性化されて生じたのかは未だ明白でない。④また、FVIIaの血中での半減期は約2.5時間であり、ほかのFIXa、FXaなどの活性型凝固因子が数分以内であるのと比べてきわめて長い。これは外因系凝固の阻害物質であるTissue Factor Pathway Inhibitor(TFPI)がTF/FVIIa複合体にしか作用せず、アンチトロンビンIIIによる阻害の寄与も小さいためと考えられている。⑤FVII遺伝子は全長12.8Kbで、第13染色体のq34qterに位置し、8個のエクソンと7つのイ

\*1 (財)化学及血清療法研究所 血液製剤研究部 (〒860-8568 熊本市大窪1-6-1)

Blood Products Research Department, The Chemo-Sero-Therapeutic Research Institute, (1-6-1 Okubo, Kumamoto 860-8568, Japan)

\*2 (財)化学及血清療法研究所 第一研究部 (〒869-1298 熊本県菊池郡旭志村川辺)

Research Department 1, The Chemo-Sero-Therapeutic Research Institute, (Kawabe Kyokushi-mura, Kikuchi-gun, Kumamoto 869-1298, Japan)

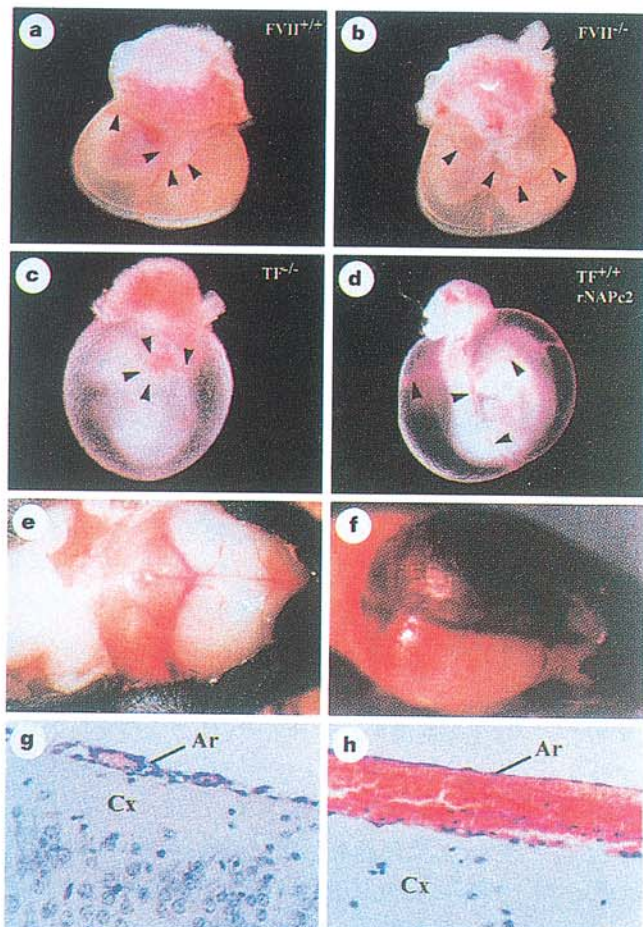


図 1 胎齢 10.5 日における  $FVII^{+/+}$ ,  $FVII^{-/-}$ ,  $TF^{-/-}$  胚の顕微鏡観察(文献 4 より引用)

(a)  $FVII^{+/+}$ , (b)  $FVII^{-/-}$ , (d) rNAPc2 处理  $FVII^{+/+}$  では明瞭な叢が形成されているが(矢印), (c)  $TF^{-/-}$  では卵黄囊内に、微小動脈瘤に伴う血液の堆積(blood lakes)および異常な叢が観察される(c, d は培養胚)。(e) は正常な  $FVII^{+/+}$  脳と、(f) は硬膜下出血をきたした  $FVII^{-/-}$  脳を示す。(g) と(h)はそれぞれのクモ膜と白脳(White-brain)であるが、 $FVII^{+/+}$  では血管内の血液が明瞭であり、 $FVII^{-/-}$  では硬膜下に血液の堆積が認められる。(Reprinted by permission from Nature Vol. 390 pp. 290-294, 20 Nov. 1997 Copyright Macmillan Magazines Ltd.)

ントロンからなる。FVII 遺伝子の下流 2.8 Kb に FX 遺伝子が位置する。

1996 年、3 つのグループがほぼ同時期に TF の欠損マウス ( $TF^{-/-}$ ) を報告した<sup>3)</sup>。それらによると  $TF^{-/-}$  の胚は、胎齢 9.5 日から 10.5 日にかけて卵黄囊血管・胚血管の形成不全を生じ、それに伴う循環異常により死亡することが明らかになった。このことから、TF は、発生過程において、血管同士の連結時における出血を防止する役割をはたす一方で、凝固因子としての機能以外にも血管の分化への関与が示唆されている。これらをより詳細に明らかにするため、TF のリガンドである FVII の欠損マウスの作出が望まれていた。

### FVII 欠損マウスからの情報

1997 年、Rosen らのグループは FVII 欠損マウスを作成するために、ヘテロ接合体 FVII 欠損マウス ( $FVII^{-/-}$ ) を掛け合わせ、ホモ接合体 FVII 欠損マウス ( $FVII^{-/-}$ ) を作出了<sup>4)</sup>。その結果、 $FVII^{-/-}$  胎児の発育は、いずれの胎齢においても異常はなく(図 1a, b)，また  $TF^{-/-}$  胚にみられた血管形成不全も(図 1c)生じなかった。しかし、 $FVII^{-/-}$  の新生児はその 70% が分娩時に致死的な腹腔内出血を生じ、生き延びた残りの個体も大部分が 24 日齢になる以前に頭蓋内出血で死亡した(図 1e, f)。一方、血管形成については、内皮細胞における von Willebrand 因子(vWF) の存在、平滑筋細胞における  $\alpha$  ア

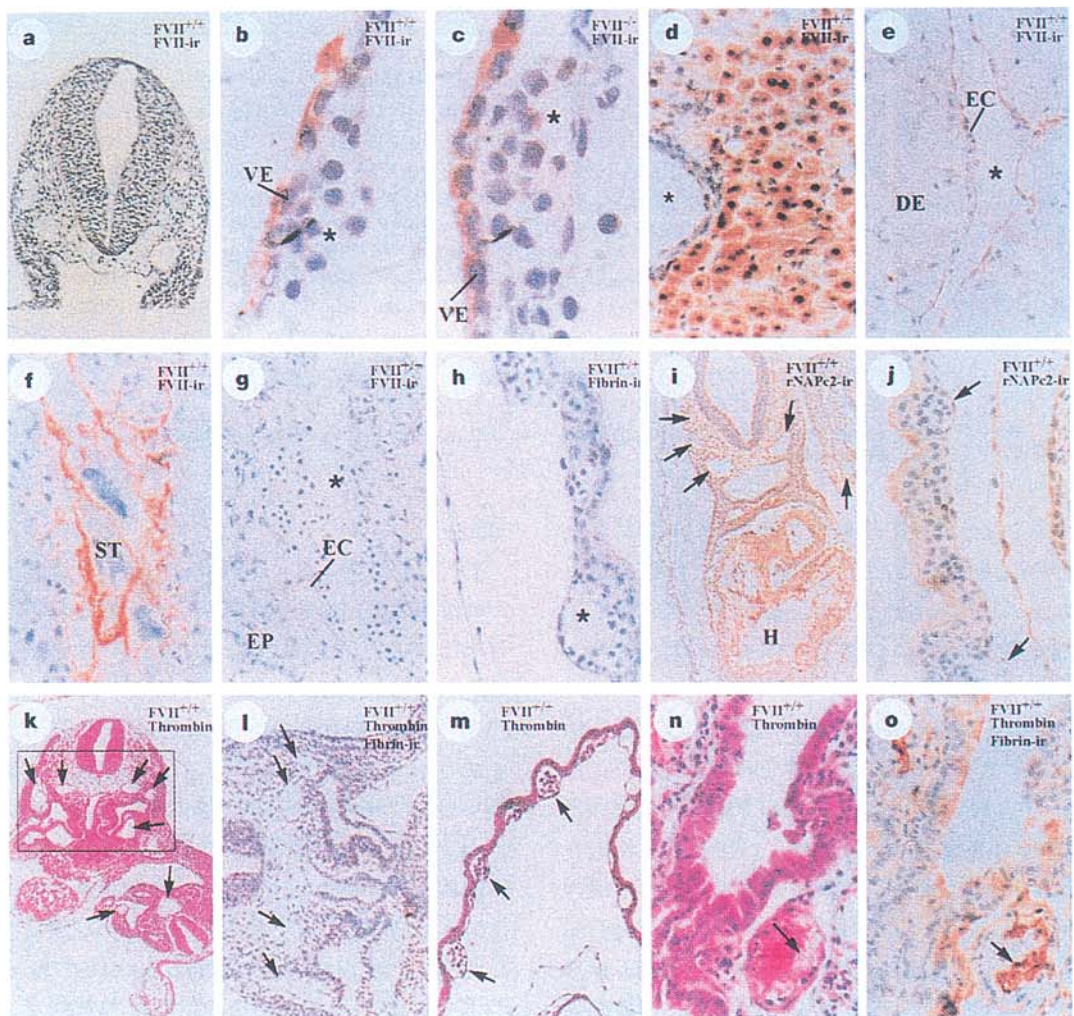


図2 胚でのFVIIおよびフィブリノゲン形成の免疫染色による分析（文献4より引用）

胎齢9.5日におけるFVIIの免疫反応性(FVII-ir)：(a)FVII<sup>+/+</sup>は陰性。(b)FVII<sup>+/+</sup>および(c)FVII<sup>-/-</sup>の卵黄嚢の近位内胚葉細胞先端部(母体側)は陽性。(d)FVII<sup>+/+</sup>の成熟マウスの肝臓は陽性。胎齢9.5日の(e)胎盤脱落膜中の血管内皮細胞内および、(f)合胞体栄養細胞層上は陽性だが、(g)胚盤内の胚血管は陰性。胎齢9.5日におけるフィブリノゲン/フィブリンの免疫染色反応性(フィブリノゲン/フィブリン-ir)：(h)FVII<sup>+/+</sup>卵黄嚢血管は陰性。rNAPc2処理後2日目の胚(胎齢15日)における、rNAPc2の免疫染色反応性(rNAPc2-ir)：(i)胚と(j)卵黄嚢は陽性。トロンビン投与によるフィブリノゲン形成の誘導：(k)および(l)I, Iはkの拡大図)胎齢9.5日のFVII<sup>+/+</sup>胚と、(m)卵黄嚢血管ではフィブリノゲン形成は陰性。(n, o)成熟マウスの肺では血栓を生じた。k, m, nはヘマトキシリン-エオシン染色像。<sup>\*</sup>印は内腔を示している。(Reprinted by permission from Nature Vol. 390 pp. 290-294, 20 Nov. 1997 Copyright Macmillan Magazines Ltd.)

クチンの存在が確認され、共に正常であった。また、FVII以外の凝固因子の中でFVIIを代償する因子はなかった(表1)。FVII<sup>+/+</sup>のmRNAレベルは、胎齢9.5日の胚と卵黄嚢で最も低値

を示し、このことはFVIIの活性が胎齢11.5日でもっとも低かったことと一致する(表1)。これに比べて分娩後2日の新生児、あるいは成熟マウスの肝臓では豊富なFVIIのmRNAが認

表 1 F VII 欠損マウスの血漿中の凝固因子活性 (文献 4 より引用・改変)

凝固因子	胎齢	F VII <sup>+/+</sup>	遺伝型	
			F VII <sup>+/-</sup>	F VII <sup>-/-</sup>
F II	18.5 日	42±4 (9)	39.3±3 (21)	46±4 (8)
F V	18.5 日	45±6 (9)	41±4 (21)	60±6 (8)
F VII	11.5 日	0.2±0.1(11)	0.1±0.1 (3)	≤0.05 (2)
	14.5 日	1.7±0.3(8)	0.9±0.1*(11)	≤0.05 (9)
	18.5 日	39±8 (3)	13±2* (17)	≤0.05 (12)
	新生児	23±4 (12)	10±2* (12)	≤0.05 (3)
F VIII	18.5 日	74±15 (9)	62±7 (21)	64±8 (22)
F IX	18.5 日	37±4 (9)	28±2 (21)	19±2*(8)
F X	18.5 日	30±3 (9)	27±2 (22)	34±3 (8)

数字は成熟マウスを 100% とした時の値±標準偏差、( ) 内は匹数を示す。

\*印は F VII<sup>+/+</sup> に対して有意差 ( $P < 0.05$ ) があったことを示す。

(Reprinted by permission from Nature Vol. 390 pp. 290-294, 20 Nov. 1997 Copyright Macmillian Magazines Ltd.)

められた。FVII の免疫染色像解析によると FVII は胎齢 9.5 日の FVII<sup>+/+</sup> 胚には認められなかつたが、生後 2 日から成熟マウスになるにつれて肝臓において豊富に認められた (図 2a, d)。

胚の正常な発育が母体から胚への FVII の移行によるものであるか否かを調べるために、胎齢 11.5 日、14.5 日、18.5 日の FVII<sup>-/-</sup> 胎児血漿の FVII 活性を測定したが、いずれにも検出されなかつた (表 1)。また、母体に組換ヒト活性化 FVII 因子 (rFVIIa) を血漿濃度が 5  $\mu\text{g}/\text{ml}$  になるよう (生理的 FVII 濃度の 10 倍量) 投与しても、胎児血漿中の rFVIIa 濃度は、母体血漿中濃度の 0.1% 未満であった。通常、母体から胚への栄養分の供給は、発生初期では卵黄囊を通して行われ、次に絨毛膜-尿膜融合期 (胎齢 9.0~9.5 日) の後では主として胎盤を通しておこなわれる。そこで、胎齢 9.5 日または 10.5 日における FVII の免疫染色像解析を行つた結果、FVII は FVII<sup>+/+</sup> においては卵黄囊内の母体から延びた近位内胚葉細胞に検出されたが、FVII<sup>-/-</sup> では、主として母体側の絨毛先端部 (villous brush border) にしか検出されなかつた (図 2b, c)。また、胎齢 9.5 日の絨毛膜尿膜胎盤における FVII 免疫反応性は、母体の血管の内皮と合胞体栄養細胞層にしか認められず (図 2e, f)，胎児血管は一貫して陰性であった

(図 2g)。

TF<sup>-/-</sup> 胚の多くは、その血管の脆弱性に起因する致死的な出血を呈するので、正常な胚の発育にはフィブリノーゲン/フィブリンの免疫染色 (図 2h)，および超微構造分析 (倍率 3,000 倍、視野 20 以上の電子顕微鏡観察) の結果では、血管内部およびその周囲にフィブリン沈着は認められなかつた。また、TF<sup>-/-</sup> において血管が脆弱になる時期に相当する胎齢 8.5 日~10.5 日の FVII<sup>+/+</sup> の胚を、鉤虫由来の FVIIa 特異的インヒビターの組換改変体である「rNAPc 2<sup>5</sup>」存在下で培養しても、TF<sup>-/-</sup> 胚のような微小動脈瘤やそれに伴う血液の堆積 (blood lakes) は生じなかつた (図 1c, d, 2i, j)。さらに、胎齢 9.5 日の FVII<sup>+/+</sup> 胚の心臓内に致死量の 1,000 倍量のトロンビンを投与したが、驚くことにフィブリン沈着は、胚または卵黄血管には検出されなかつた (図 2k-m)。これらのことから、胎齢 9.5 日の胚での止血にはフィブリン形成の寄与は小さいと推察された。また、成熟した血小板は胎齢 9.5 日では同定されないこと、および血小板の有無が出生前の出血に関与しないことから<sup>6</sup>、血小板依存性の止血が生じている可能性も低い。

## おわりに

以上を要約すると、①TFの唯一のリガンドであるFVII<sup>-/-</sup>の胚は正常に発育し、周産期から24日齢までに腹腔内出血および頭蓋内出血のため死亡した。なお、TF<sup>-/-</sup>の胚は胎齢9.5日から10.5日の間に壞死する。②FVII<sup>-/-</sup>胎児の正常な発育は、母体から胚へのFVIIの供給による可能性もあるが、過剰な母体へのrFVIIaの投与およびFVIIの免疫染色像解析の結果からみてその可能性は低い。③FVII<sup>+/+</sup>胎齢9.5日と10.5日の卵黄嚢のFVII免疫反応性および超微構造分析では、血管内部およびその周囲にフィブリン形成は認められない。つまり、FVII<sup>-/-</sup>胎児の生存は、母体から胎児へのFVIIの移行によるものではなく、TF/FVIIaを介したフィブリン形成によるものでもない。これらのこととは、胚形成時のTFが、トロンビンやXaなどのシグナル伝達による血管の分化、細胞接着、走化性など、血液凝固反応以外の機能を持つことを強く示唆している。

謝 辞：御校閲を戴きました岩永貞昭先生（藤田保健衛生大学客員教授）に深謝いたします。

## 文 献

- 1) Pertersen LC, Hedner U, Wildegoose P : Factor VII (High KA, Roberts HR, eds) : Molecular Basis of Thrombosis and Hemostasis. New York, Marcel Dekker, Inc., 147-165, 1995.
- 2) Butenas S, Mann KG : Kinetics of human factor VII activation. Biochemistry, 35:1904-1910, 1996.
- 3) 中垣智弘、水口純、岩永貞昭：組織因子欠損マウス、日本血栓止血学会誌 8:153-155, 1997.
- 4) Rosen ED, Chan JCY, Idusogie E, Clotman F, Vlasuk G, Luther T, Jalbert LR, Alblecht S, Zhong L, Lissens A, Schoonjans L, Moons L, Collen D, Castellino FJ, Carmeliet P : Mice Lacking factor VII develop normally but suffer fatal perinatal bleeding : Nature 390:290-294, 1997.
- 5) Stanssens P, Bergum PW, Cansemans Y, Jespers L, Laroche Y, Huang S, Maki S, Messens J, Lauwereys M, Cappello M, Hotez PJ, Lasters I, Vlasuk GP : Anticoagulant repertoire of the hookworm *Ancylostoma caninum* : Biochemistry 93:2149-2154, 1996.
- 6) Shivdasani RA, Orkin SH : Erythropoiesis and globin gene expression in mice lacking the transcription factor NF-E2. Proc Natl Acad Sci USA 92:8690-8694, 1995.